

Analyse verschiedener Metriken zur System-Identifikation

Klaus Zauner

September 24, 2019

Themen der Arbeit

- ✓ Datenbasierte Modellbildung
- ✓ LS-Schätzer, BLUE-Bedingungen
- ✓ L_1 - und L_∞ -Schätzer
- ✓ Analyse der alternativen Schätzer auf Basis von Simulationsstudien

Kapitel

- ✓ Theorie
- ✓ Simulationsstudien: Parametrische Modelle
- ✓ Simulationsstudie: Tankmodell
- ✓ Zusammenfassung

LS-Schätzer, BLUE-Bedingungen

Mit Eingangsdaten $\mathbf{U} = [u_1, u_2, \dots, u_k, \dots, u_N] \in \mathbb{R}^N$ und Ausgangsdaten $\mathbf{Y} = [y_1, y_2, \dots, y_k, \dots, y_N] \in \mathbb{R}^N$ eines zu identifizierenden Systems, sowie einer gewählten Modellstruktur

$$\hat{\mathbf{Y}} = \mathbf{\Phi} \hat{\mathbf{\Theta}} + \mathbf{e}, \quad (1)$$

mit der Störung $\mathbf{e} = [e_1, e_2, \dots, e_k, \dots, e_N] \in \mathbb{R}^N$, ergeben sich deren unbekannte Parameter $\hat{\mathbf{\Theta}}$ unter Verwendung des LS-Schätzers zu

$$\hat{\mathbf{\Theta}} = (\mathbf{\Phi}^T \mathbf{\Phi})^{-1} \mathbf{\Phi}^T \mathbf{Y}. \quad (2)$$

LS-Schätzer, BLUE-Bedingungen

- ✓ BLUE – **best linear unbiased estimator**
- ✓ best – geringste Varianz der Parameterschätzung
- ✓ unbiased – Erwartungstreue, d.h. $E\{\hat{\Theta}\} = \Theta$

Die BLUE-Bedingungen sind:

- 1 System- und Modellstruktur stimmen überein
- 2 Anzahl der Daten $N \rightarrow \infty$
- 3 $E\{(\varphi_i \varphi_i^T)^{-1}\} \neq 0$ – die Hessematrix ist invertierbar
- 4 $E\{\mathbf{e}\} = 0$ – mittelwertfreie Störung
- 5 $E\{\varphi_i e_i\} = 0$ – Regressor und Störung sind unkorreliert

alternative Schätzer

LS-Schätzer:

$$\hat{\Theta} = \arg \min_{\Theta} V_2(\Theta) = \arg \min_{\Theta} \frac{1}{2} (\mathbf{y} - \Phi \Theta)^T (\mathbf{y} - \Phi \Theta) \quad (3)$$

✓ L_1 -Schätzer

$$\hat{\Theta} = \arg \min_{\Theta} V_1(\Theta) = \arg \min_{\Theta} \sum_{i=1}^N |r_i(\Theta)| \quad (4)$$

✓ L_∞ -Schätzer

$$\hat{\Theta} = \arg \min_{\Theta} V_\infty(\Theta) = \arg \min_{\Theta} \max |r_i(\Theta)| \quad (5)$$

alternative Schätzer - lineares Programm

Die Optimierungsprobleme zu L_1 - und L_∞ -Schätzer können als lineare Programme der Form

$$\min_{\mathbf{x}} \mathbf{f}^T \mathbf{x}, \text{ mit Nebenbedingungen } \begin{cases} \mathbf{A}\mathbf{x} \leq \mathbf{b} \\ \mathbf{A}_{eq}\mathbf{x} = \mathbf{b}_{eq} \\ \mathbf{x}_{min} \leq \mathbf{x} \leq \mathbf{x}_{max} \end{cases} \quad (6)$$

fomuliert und mit MatLab *linprog* gelöst werden.

Studien an parametrischen Modellen

✓ PNFIR:

$$y_k = 0,1 + 0,1u_k + 0,1u_{k-1} - 0,5u_k^2 - 0,2u_k u_{k-1} + 0,1u_{k-1}^2 + 0,4u_k^3 + 0,5u_k^2 u_{k-1} - 0,2u_k u_{k-1}^2 + 0,2u_{k-1}^3 + e_k \quad (7)$$

✓ PNARX:

$$y_k = 0,5y_{k-1} + 0,3u_{k-2} + 0,3u_{k-1}y_{k-1} + 0,5u_{k-1}^3 + e_k \quad (8)$$

✓ OE:

$$y_k = u_{k-1} - 0,25y_{k-1} + e_k + 0,25e_{k-1} \quad (9)$$

Studien an parametrischen Modellen: Störungen

- ✓ MWN – mittelwertfreies, weißes Rauschen, keine Verletzung
- ✓ WN – weißes Rauschen mit Mittelwert, Verletzung: 4
- ✓ CN – farbiges Rauschen, Verletzung: 5
- ✓ MWN + Peak – mittelwertfreies, weißes Rauschen + Störspitzen, Verletzung: 4

Studien an parametrischen Modellen: Ablauf

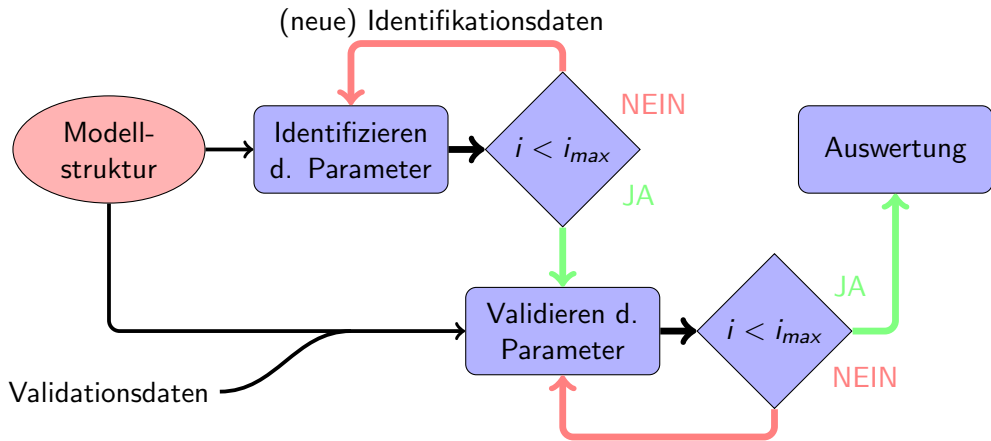


Figure: Ablaufdiagramm: Studien an parametrischen Modellen

Studien an parametrischen Modellen: PNFIR

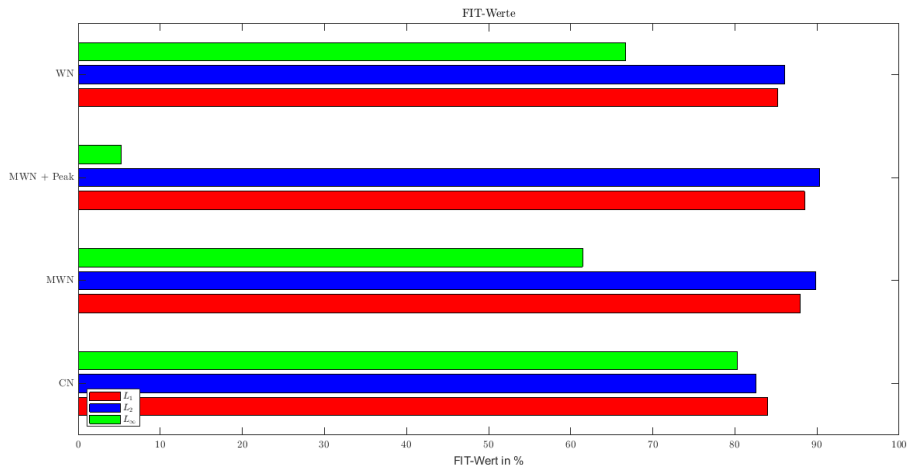


Figure: grafische Gegenüberstellung: über $n = 100$ Validationen gemittelte FIT-Werte

Studien an parametrischen Modellen: PNARX

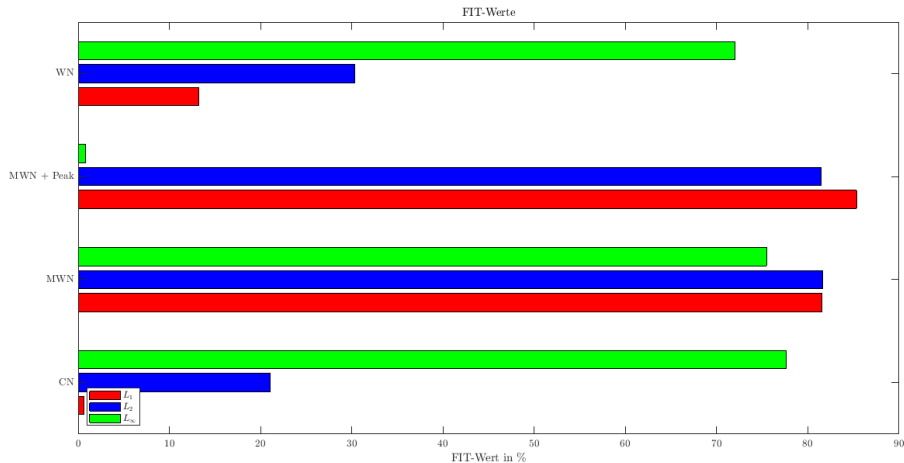


Figure: grafische Gegenüberstellung: über $n = 100$ Validationen gemittelte FIT-Werte

Studien an parametrischen Modellen: OE

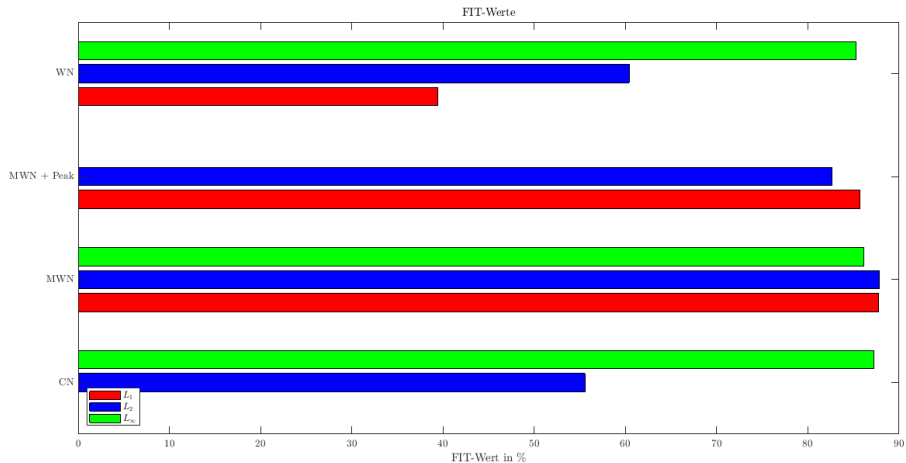


Figure: grafische Gegenüberstellung: über $n = 100$ Validationen gemittelte FIT-Werte

Studie an einem realistischen System-/Simulationsmodell: Tankmodell

zeitdiskrete Approximation:

$$x_1(k+1) = x_1(k) - k_1 \sqrt{x_1(k)} + k_2(u(k) + w(k)) \quad (10)$$

$$x_2(k+1) = x_2(k) + k_3 \sqrt{x_1(k)} - k_4 \sqrt{x_2(k)} \quad (11)$$

$$y(k) = x_2(k) + v(k) \quad (12)$$

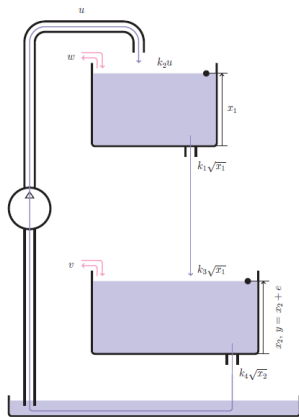


Figure: Tankmodell: schematische Darstellung

Studie am Tankmodell: Störungen

- ✓ MWN – mittelwertfreies, weißes Rauschen, keine Verletzung
- ✓ MPM – model-plant mismatch, Verletzung: 1

Studie am Tankmodell: iterative Modellstrukturauswahl

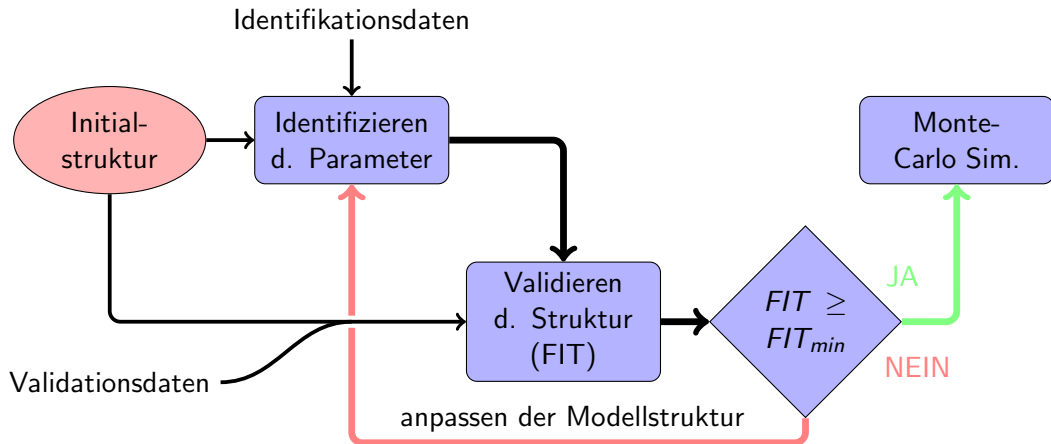


Figure: Ablaufdiagramm: iterative Modellstrukturauswahl

Studie am Tankmodell: Modellstruktur

Table: Modellstruktur des Tankmodells

Größe	Wert
Verzögerung Eingang: $n_{k,u}$	1
Verzögerung Ausgang: $n_{k,y}$	1
Modellordnung bez. Eingang: n_b	1
Modellordnung bez. Ausgang: n_a	1
Polynomgrad: p	3

Studie am Tankmodell: Ergebnis, Störung: MWN

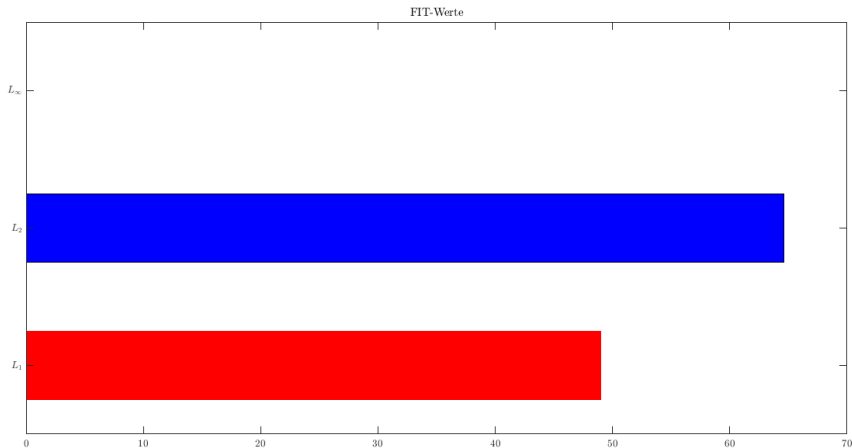


Figure: grafische Gegenüberstellung: über $n = 20$ Validationen gemittelte FIT- Werte

Zusammenfassung

Table: Zusammenfassung der Simulationsergebnisse

	MWN	WN	CN	MWN + Peak	Strukturabw.
	FIR / AR	FIR / AR	FIR / AR	FIR / AR	
L_1	✓	✓/✗	✓/✗	✓	✗
L_2	✓	✓/~	✓/~	✓	~
L_∞	✗/~	~/✓	✓	✗	✗

Danke für Ihre Aufmerksamkeit!